Kapitel 3

VORWÄRTSKINEMATIK: DER DENAVIT-HARTENBERG KONVENTION

In diesem Kapitel entwickeln wir die Vorwärts- oder Konfigurationskinematikgleichungen für starre Roboter. Das Problem der Vorwärtskinematik befasst sich mit der Beziehung zwischen den einzelnen Gelenken des Robotermanipulators und der Position und Ausrichtung des Werkzeugs oder Endeffektors. Formeller ausgedrückt besteht das Problem der Vorwärtskinematik darin, die Position und Ausrichtung des Endeffektors anhand der Werte für die Gelenkvariablen des Roboters zu bestimmen. Bei den Gelenkvariablen handelt es sich um die Winkel zwischen den Gelenken bei Revolutoder Rotationsgelenken und um die Gelenkverlängerung bei Prismen- oder Schiebegelenken. Dem Problem der Vorwärtskinematik ist das Problem der Umkehrkinematik gegenüberzustellen, das im nächsten Kapitel untersucht wird und bei dem es um die Bestimmung von Werten für die Gelenkvariablen geht, die eine gewünschte Position und Ausrichtung für den Endeffektor des Roboters erreichen.

3.1 Kinematische Ketten

Wie in Kapitel 1 beschrieben, besteht ein Robotermanipulator aus einer Reihe von
Gliedern, die durch verschiedene Gelenke miteinander verbunden sind. Die Gelenke
können entweder sehr einfach sein, wie zum Beispiel ein Drehgelenk oder ein
Prismengelenk, oder sie können komplexer sein, wie zum Beispiel ein Kugelgelenk. (Denken Sie daran, dass ein Drehgelenk

ein Scharnier und ermöglicht eine relative Drehung um eine einzelne Achse, und ein prismatisches Gelenk ermöglicht eine lineare Bewegung entlang einer einzelnen Achse, nämlich ein Aus- oder Einfahren.) Der Unterschied zwischen den beiden Situationen besteht darin, dass das Gelenk im ersten Fall nur eine Bewegung hat ein einzelner Bewegungsfreiheitsgrad: der Drehwinkel im Fall eines Drehgelenks und der Betrag der linearen Verschiebung im Fall eines Prismengelenks. Im Gegensatz dazu hat ein Kugelgelenk zwei Freiheitsgrade. In diesem Buch wird durchgehend davon ausgegangen, dass alle Gelenke nur einen einzigen Freiheitsgrad haben. Beachten Sie, dass die Annahme keinen wirklichen Verlust an Allgemeingültigkeit bedeutet, da Gelenke wie ein Kugelgelenk (zwei Freiheitsgrade) oder ein sphärisches Handgelenk (drei Freiheitsgrade) immer als Folge betrachtet werden können von Verbindungen mit einem Freiheitsgrad und Verbindungsgliedern der Länge Null dazwischen.

Unter der Annahme, dass jedes Gelenk einen einzigen Freiheitsgrad hat, kann die Wirkung jedes Gelenks durch eine einzige reelle Zahl beschrieben werden: den Drehwinkel im Fall eines Drehgelenks oder die Verschiebung im Fall eines Prismengelenks. Das Ziel der Vorwärtskinematikanalyse besteht darin, die kumulative Wirkung des gesamten Satzes von Gelenkvariablen zu bestimmen. In diesem Kapitel werden wir eine Reihe von Konventionen entwickeln, die ein systematisches Verfahren zur Durchführung dieser Analyse bieten. Es ist natürlich möglich, eine Vorwärtskinematikanalyse auch ohne Berücksichtigung dieser Konventionen durchzuführen, wie wir es in Kapitel 1 für das Beispiel eines planaren Manipulators mit zwei Gliedern getan haben. Die kinematische Analyse eines Manipulators mit n-Links kann jedoch äußerst komplex sein und Die im Folgenden eingeführten Konventionen vereinfachen die Analyse erheblich. Darüber hinaus führen sie zu einer universellen Sprache, mit der Roboteringenieure kommunizieren können.

Ein Robotermanipulator mit n Gelenken hat n + 1 Glieder, da jedes Gelenk zwei Glieder verbindet. Wir nummerieren die Gelenke von 1 bis n und die Verbindungen von 0 bis n, beginnend mit der Basis. Nach dieser Konvention verbindet das Gelenk i den Link i ÿ 1 mit dem Link i. Wir gehen davon aus, dass die Position des Gelenks i in Bezug auf das Glied i ÿ 1 feststeht. Wenn das Gelenk i betätigt wird, bewegt sich das Glied i. Daher ist Link 0 (das erste Link) fest und bewegt sich nicht, wenn die Gelenke betätigt werden. Natürlich könnte der Robotermanipulator selbst mobil sein (z. B. könnte er auf einer mobilen Plattform oder einem autonomen Fahrzeug montiert sein), aber wir werden diesen Fall in diesem Kapitel nicht betrachten, da er durch leichte Erweiterung der Techniken leicht gehandhabt werden kann hier vorgestellt.

Mit dem i Th joint, wir assoziieren eine gemeinsame Variable, die mit qi bezeichnet wird . Bei einem Drehgelenk ist qi der Drehwinkel und bei a

3.1. KINEMATISCHE KETTEN

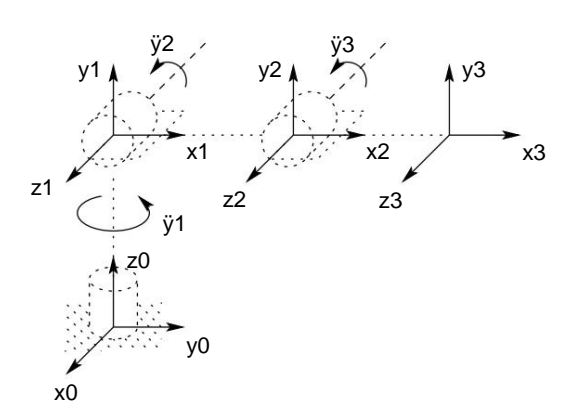


Abbildung 3.1: Am Ellenbogenmanipulator befestigte Koordinatenrahmen.

prismatisches Gelenk, Qi ist die Gelenkverschiebung:

Um die kinematische Analyse durchzuführen, befestigen wir starr an jedem Glied einen Koordinatenrahmen. Insbesondere fügen wir oixiyizi dem Link i bei. Dies bedeutet, dass unabhängig von der Bewegung des Roboters die Koordinaten jedes Punktes auf der Verbindung i konstant sind, wenn sie im i-Koordinatenrahmen ausgedrückt werden. Wenn außerdem das Gelenk i betätigt wird, erfahren das Verbindungsglied i und sein befestigter Rahmen, oixiyizi, eine resultierende Bewegung. Der Rahmen o0x0y0z0, der an der Roboterbasis befestigt ist, wird als Inertialrahmen

bezeichnet. Abbildung 3.1 veranschaulicht die Idee, Rahmen im Fall eines Ellenbogenmanipulators starr an Gelenken zu be

Nehmen wir nun an , Ai sei die homogene Transformationsmatrix, die die Position und Ausrichtung von oixiyizi in Bezug auf oiÿ1xiÿ1yiÿ1ziÿ1 ausdrückt.

Die Matrix Ai ist nicht konstant, sondern variiert, wenn sich die Konfiguration des Roboters ändert. Die Annahme, dass alle Gelenke entweder rotierend oder prismatisch sind, bedeutet jedoch, dass Ai eine Funktion nur einer einzigen Gelenkvariablen ist, nämlich qi . Mit anderen Worten,

$$Ai = Ai(qi). (3.2)$$

Nun wird die homogene Transformationsmatrix, die die Position und Orientierung von ojxjyjzj in Bezug auf oixiyizi ausdrückt , vereinbarungsgemäß Transformationsmatrix genannt und mit T j bezeichnet . Aus Kapitel 2 sehen wir das

73

$$T_J = I$$
, wenn $i = j$ (3.3)
 $T_J = (T - j)^{\tilde{y}1}$ wenn $j > i$.

Durch die Art und Weise, wie wir die verschiedenen Rahmen starr befestigt haben zu den entsprechenden Links folgt daraus, dass die Position eines beliebigen Punktes auf der Endeffektor ist, wenn er im Frame n ausgedrückt wird, eine Konstante, die unabhängig von ist Konfiguration des Roboters. Bezeichnen Sie die Position und Ausrichtung des Endeffektors in Bezug auf das Trägheits- oder Basissystem mit einem Drei-Vektor- O0 N (was die Koordinaten des Ursprungs des Endeffektorrahmens angibt mit bezüglich des Grundrahmens) und der 3 x 3 Rotationsmatrix R0 n, und definieren Sie die homogene Transformationsmatrix

$$H = \begin{array}{ccc} RO_N & OO_N \\ 0.1 & . \end{array}$$
 (3.4)

Dann die Position und Ausrichtung des Endeffektors im Inertialsystem sind gegeben durch

$$H = T$$
 $\int_{N}^{0} = A1(q1) \cdot \cdot \cdot An(qn).$ (3.5)

Jede homogene Transformation Ai hat die Form

$$Ai = \begin{array}{ccc} & Riy_{1}^{1} & \ddot{O}_{2}^{1/7} \\ & & & & & \\ & & & & & \\ & & & & & \\ & & & & & \\ & & & & & \\ & & & & & \\ & & & & & \\ & & & & & \\ & & & & & \\ & & & & \\ & & & & \\ & & & & \\ & & & & \\ & & & & \\ & & & & \\ & & & & \\ & & & \\ & & & \\ & & & \\ & & & \\ & & & \\ & & & \\ & & & \\ & & & \\ & & & \\ & & & \\ & & & \\ & & \\ & & & \\ & \\ & & \\ & & \\ & & \\ & \\ & & \\ & \\ & \\ & & \\ & \\ & \\ & \\ & \\ & \\ & \\$$

Somit

$$T_{J}^{*} = Ai+1 \cdots Aj = Ri_{J}^{Oi} J \qquad (3.7)$$

Die Matrix Ri J drückt die Ausrichtung von ojxjyjzj relativ zu oixiyizi aus und ist durch die Rotationsteile der A-Matrizen gegeben als

$$R_{j} = R_{i+1} \cdots R_{j} j \ddot{y} 1.$$
 (3.8)

Die Koordinatenvektoren Oi J werden rekursiv durch die Formel gegeben

$$\ddot{O}_{J} = O \quad \ddot{j}\dot{y}_{1} + R \quad \ddot{j}\dot{y}_{1}o \quad \dot{j}_{1}$$
 (3.9)

Diese Ausdrücke werden in Kapitel 5 nützlich sein, wenn wir Jacobi-Matrizen untersuchen.

Im Prinzip reicht es, die Kinematik weiterzuleiten! Bestimmen Sie die Funktionen Ai(qi) und multiplizieren Sie sie nach Bedarf miteinander. Es ist jedoch möglich, ein erhebliches Maß an Rationalisierung und Vereinfachung zu erreichen Die Einführung weiterer Konventionen, etwa der Denavit-Hartenberg-Darstellung eines Gelenks, ist das Ziel des restlichen Kapitels.

3.2 Denavit Hartenberg-Vertretung

Obwohl es möglich ist, die gesamte Analyse in diesem Kapitel mit einem beliebigen Rahmen durchzuführen, der jedem Link beigefügt ist, ist es hilfreich, bei der Auswahl dieser Rahmen systematisch vorzugehen. Eine häufig verwendete Konvention zur Auswahl von Referenzrahmen in Roboteranwendungen ist die Denavit-Hartenberg- oder DH-Konvention. In dieser Konvention wird jede homogene Transformation Ai als Produkt von vier Grundtransformationen dargestell

wobei die vier Größen ÿi di ÿi Parameter sind, die der Verbindung i und dem Gelenk i zugeordnet sind. Die vier Parameter ai 'ÿi 'di und ÿi in (3.10) erhalten im Allgemeinen die Namen Verbindungslänge, Verbindungsverdrehung, Verbindungsversatz bzw. Gelenkwinkel. Diese Namen leiten sich von bestimmten Aspekten der geometrischen Beziehung zwischen zwei Koordinatensystemen ab, wie weiter unten deutlich wird. Da die Matrix Ai eine Funktion einer einzelnen Variablen ist, stellt sich heraus, dass drei der oben genannten vier Größen für eine bestimmte Verbindung konstant sind, während der vierte Parameter, ÿi für ein Drehgelenk und di für ein Prismengelenk, die Gelenkvariable ist .

Aus Kapitel 2 geht hervor, dass eine beliebige homogene
Transformationsmatrix durch sechs Zahlen charakterisiert werden kann,
beispielsweise drei Zahlen zur Angabe der vierten Spalte der Matrix und drei
Euler-Winkel zur Angabe der oberen linken 3×3 - Rotationsmatrix . In der DHDarstellung hingegen gibt es nur vier Parameter. Wie ist das möglich? Die
Antwort ist, dass der Rahmen i zwar starr mit der Verbindung i verbunden sein
muss, wir aber bei der Wahl des Ursprungs und der Koordinatenachsen des
Rahmens erhebliche Freiheit haben. Beispielsweise ist es nicht erforderlich,
dass der Ursprung Oi des Frames i am physischen Ende der Verbindung i
platziert wird. Tatsächlich ist es nicht einmal notwendig, dass der Frame i
innerhalb der physischen Verbindung platziert wird; Rahmen i könnte im freien
Raum liegen – solange Rahmen i fest mit Link i verbunden ist. Durch geschickte Wahl des Ursprungs und der K

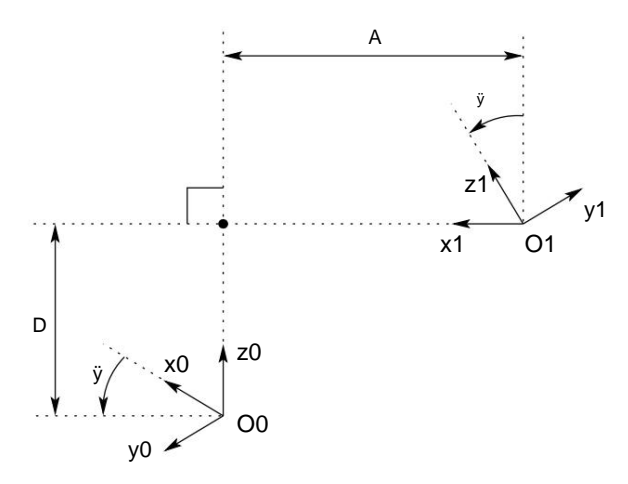


Abbildung 3.2: Koordinatensysteme, die die Annahmen DH1 und DH2 erfüllen.

Es werden zwischen sechs und vier (in manchen Fällen sogar weniger) benötigt. In Abschnitt 3.2.1 zeigen wir, warum und unter welchen Bedingungen dies möglich ist, und in Abschnitt 3.2.2 zeigen wir genau, wie die Koordinatenrahmenzuweisungen vorgenommen werden.

3.2.1 Existenz- und Einzigartigkeitsfragen

Offensichtlich ist es nicht möglich, eine beliebige homogene Transformation mit nur vier Parametern darzustellen. Daher beginnen wir damit, zu bestimmen, welche homogenen Transformationen in der Form (3.10) ausgedrückt werden können. Angenommen, wir erhalten zwei Frames, die mit den Frames 0 bzw. 1 bezeichnet werden. Dann gibt es eine eindeutige homogene Transformationsmatrix A, die die Koordinaten von Frame 1 in die von Frame 0 übernimmt. Nehmen wir nun an, dass die beiden Frames zwei zusätzliche Merkmale haben, nämlich:

(DH1) Die Achse x1 steht senkrecht zur Achse z0

(DH2) Die Achse x1 schneidet die Achse z0

wie in Abbildung 3.2 dargestellt. Unter diesen Bedingungen behaupten wir, dass es eindeutige Zahlen a, d, ÿ, ÿ gibt, so dass

$$A = Rz, \ddot{y}Transz, dTransx, aRx, \ddot{y}$$
. (3.11)

Da ÿ und ÿ Winkel sind, meinen wir natürlich, dass sie innerhalb eines Vielfachen von 2ÿ eindeutig sind. Um zu zeigen, dass die Matrix A darin geschrieben werden kann

3.2. DENAVIT HARTENBERG VERTRETUNG

Form, schreibe A als

Spalte der Rotationsmatrix R0 th und ri bezeichnen das i 1. Das werden wir jetzt Untersuchen Sie die Auswirkungen der beiden DH-Einschränkungen.

Wenn (DH1) erfüllt ist, dann steht x1 senkrecht auf z0 und es gilt $x1 \cdot z0 = 0$. Drücken Sie diese Einschränkung in Bezug auf o0x0y0z0 aus, indem Sie die Tatsache nutzen, dass r1 ist Wir erhalten die Darstellung des Einheitsvektors x1 in Bezug auf Frame 0

=
$$[r11, r21, r31]$$
 $^{T} \cdot [0, 0, 1]T$ (3.14)

Da r31 = 0, müssen wir jetzt nur noch zeigen, dass es eindeutige Winkel ÿ und gibt ÿ so dass

Die einzige Information, die wir haben, ist, dass r31 = 0, aber das reicht aus. Erste, da jede Zeile und Spalte von R0 , muss eine Einheitslänge haben, r31 = 0 impliziert das

$$R_{1121}^2 + r^2 = 1,$$
 $R_{323}^4 + r^2 = 1$ (3.17)

Daher gibt es eindeutige ÿ, ÿ, so dass

$$(r11,r21) = (c\ddot{y},s\ddot{y}),$$
 $(r33,r32) = (c\ddot{y},s\ddot{y}).$ (3.18)

Sobald ÿ und ÿ gefunden sind, ist es Routine, zu zeigen, dass die verbleibenden Elemente von R0 1 muss die in (3.16) gezeigte Form haben, unter Ausnutzung der Tatsache, dassisticeine Rotation Matrix.

Als nächstes bedeutet die Annahme (DH2), dass die Verschiebung zwischen O0 und O1 kann als lineare Kombination der Vektoren z0 und x1 ausgedrückt werden. Das kann geschrieben werden als O1 = O0 + dz0 + ax1. Auch hier können wir diese Beziehung in den Koordinaten von o0x0y0z0 ausdrücken und erhalten

$$\ddot{O}_{1}^{0} = O_{0}^{0} + dzO_{0} + axO_{1}$$
 (3.19)

77

Wenn wir die obigen Ergebnisse kombinieren, erhalten wir (3.10) wie behauptet. Wir sehen also, dass vier Parameter ausreichen, um jede homogene Transformation anzugeben, die die Einschränkungen (DH1) und (DH2) erfüllt.

Nachdem wir nun festgestellt haben, dass jede homogene Transformationsmatrix, die die obigen Bedingungen (DH1) und (DH2) erfüllt, in der Form (3.10) dargestellt werden kann, können wir tatsächlich jede der vier Größen in (3.10) physikalisch interpretieren. Der Parameter a ist der Abstand zwischen den Achsen z0 und z1 und wird entlang der Achse x1 gemessen. Der Winkel ÿ ist der Winkel zwischen den Achsen z0 und z1, gemessen in einer Ebene normal zu x1. Der positive Sinn für ÿ wird von z0 bis z1 durch die Rechte-Hand-Regel bestimmt, wie in Abbildung 3.3 dargestellt. Der Parameter d ist der Abstand zwischen dem Ursprung

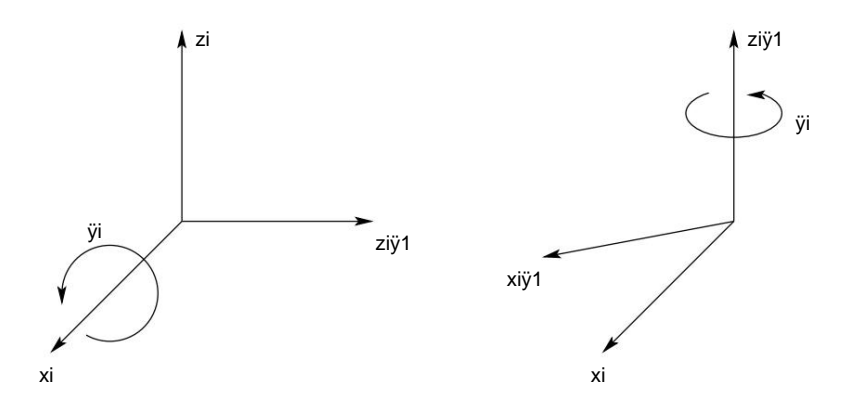


Abbildung 3.3: Positiver Sinn für ÿi und ÿi .

O0 und der Schnittpunkt der x1 -Achse mit z0, gemessen entlang der z0- Achse.

Schließlich ist ÿ der Winkel zwischen x0 und x1, gemessen in einer Ebene normal zu z0.

Diese physikalischen Interpretationen werden sich bei der Entwicklung eines Verfahrens zur

Zuweisung von Koordinatenrahmen, die die Einschränkungen (DH1) und (DH2) erfüllen, als

nützlich erweisen, und wir richten unsere Aufmerksamkeit nun auf die Entwicklung eines solchen Verfahrens.

3.2.2 Zuweisung der Koordinatenrahmen

Umständen erfordert dies die Platzierung des Ursprungs Oi des Rahmens i an einer Stelle, die intuitiv möglicherweise nicht zufriedenstellend ist, aber normalerweise ist dies nicht der Fall. Beim Lesen des folgenden Materials ist es wichtig zu bedenken, dass die Auswahl der verschiedenen Koordinatenrahmen nicht eindeutig ist, auch wenn sie durch die oben genannten Anforderungen eingeschränkt werden. Daher ist es möglich, dass verschiedene Ingenieure unterschiedliche, aber gleichermaßen korrekte Koordinatenrahmenzuordnungen für die Verbindungen des Roboters ableiten. Es ist jedoch () bleibt unabhängig von der Zuweisung gleich sehr wichtig zu beachten, dass das Endresultat (d. h. die Matrix T)

Zwischenverbindungsrahmen ist (vorausgesetzt, dass die Koordinatenrahmen für Verbindung n zusammenfallen). Wir werden mit der Ableitung des allgemeinen Verfahrens beginnen. Anschließend werden wir verschiedene gemeinsame diskutieren Sonderfälle, in denen es möglich is

Beachten Sie zunächst, dass die Wahl von zi willkürlich ist. Insbesondere aus (3.16) sehen wir, dass wir durch geeignete Wahl von ÿi und ÿi jede beliebige Richtung für zi erhalten können . Daher weisen wir für unseren ersten Schritt die Achsen z0, zu. .. ,znÿ1 auf eine intuitiv ansprechende Weise. Insbesondere weisen wir zi als Betätigungsachse für Gelenk i + 1 zu. Somit ist z0 die Betätigungsachse für Gelenk 1, z1 die Betätigungsachse für Gelenk 2 usw. Es sind zwei Fälle zu berücksichtigen: (i) Wenn das Gelenk i + 1 drehbar ist, ist zi die Rotationsachse des Gelenks i + 1; (ii) Wenn das Gelenk i + 1 prismatisch ist, ist zi die Translationsachse des Gelenks i + 1. Auf den ersten Blick mag es etwas verwirrend erscheinen, zi dem Gelenk i + 1 zuzuordnen, aber bedenken Sie, dass dies der von uns aufgestellten Konvention entspricht in Abschnitt 3.1, nämlich dass das Gelenk i in Bezug auf den Rahmen i fixiert ist und dass bei Betätigung des Gelenks i das Verbindungsglied i und der daran befestigte Rahmen oixiyizi eine rest

Für einen gegebenen Robotermanipulator kann man immer die Frames 0, wählen. .. ,n so, dass die beiden oben genannten Bedingungen erfüllt sind. Unter bestimmten

Sobald wir die Z-Achsen für die Verbindungen festgelegt haben, erstellen wir den Grundrahmen. Die Wahl des Untergestells ist nahezu beliebig. Wir können den Ursprung O0 des Basisrahmens als einen beliebigen Punkt auf z0 wählen. Wir wählen dann x0, y0 auf beliebige Weise, solange der resultierende Rahmen rechtshändig ist. Dadurch wird Frame 0 eingerichtet.

Sobald Frame 0 festgelegt ist, beginnen wir mit einem iterativen Prozess, in dem wir Frame i mithilfe von Frame i ÿ 1 definieren , beginnend mit Frame 1. Abbildung 3.4 wird für das Verständnis des Prozesses hilfreich sein, den wir jetzt beschreiben.

Um den Rahmen i einzurichten, müssen drei Fälle betrachtet werden: (i) die Achsen ziÿ1, zi sind nicht koplanar, (ii) die Achsen ziÿ1, zi schneiden sich (iii) die Achsen ziÿ1, zi sind parallel. Beachten Sie, dass in beiden Fällen (ii) und (iii) die Achsen ziÿ1 und zi koplanar sind. Diese Situation kommt tatsächlich recht häufig vor, wie wir in sehen werden

Abbildung 3.4: Denavit-Hartenberg-Rahmenzuordnung.

Abschnitt 3.3. Wir betrachten nun jeden dieser drei Fälle.

- (i) ziÿ1 und zi sind nicht koplanar: Wenn ziÿl und zi nicht koplanar sind, dann existiert ein eindeutiges Liniensegment senkrecht zu ziÿ1 und zi , so dass es beide Linien verbindet und eine minimale Länge hat. Die Linie, die diese gemeinsame Normale zu ziÿ1 und zi enthält, definiert xi und der Punkt, an dem,diese Linie zi schneidet, ist der Ursprung Oi . Konstruktionsbedingt sind beide Bedingungen (DH1) und (DH2) erfüllt und der Vektor von Oiÿ1 nach Oi ist eine Linearkombination von ziÿ1 und xi . Die Spezifikation des Rahmens i wird durch die Auswahl der Achse yi zur Bildung eines rechten Rahmens vervollständigt. Da die Annahmen (DH1) und (DH2) erfüllt sind, hat die homogene Transformationsmatrix Ai die Form (3.10).
- (ii) ziÿ1 ist parallel zu zi: Wenn die Achsen ziÿ1 und zi parallel sind, dann gibt es unendlich viele gemeinsame Normalen zwischen ihnen und Bedingung (DH1) spezifiziert xi nicht vollständig. In diesem Fall können wir den Ursprung Oi an einer beliebigen Stelle entlang von zi wählen. Oft wird Oi gewählt, um die resultierenden Gleichungen zu vereinfachen. Die Achse xi wird dann entweder so gewählt, dass sie von Oi in Richtung ziÿ1 entlang der gemeinsamen Normalen verläuft, oder als das Gegenteil dieses Vektors. Eine übliche Methode zur Auswahl von Oi besteht darin, die Normale, die durch Oiÿ1 verläuft, als xi- Achse zu wählen; Oi ist dann der Punkt, an dem diese Normale zi schneidet. In diesem Fall wäre di gleich Null. Sobald xi festgelegt ist, wird yi bestimmt, wie üblich durch die Rechte-Hand-Regel. Da die Achsen ziÿ1 und zi parallel sind, ist ÿi in diesem Fall Null.
- (iii) ziÿ1 schneidet zi: In diesem Fall wird xi normal zur Ebene gewählt, die durch zi und ziÿ1 gebildet wird. Die positive Richtung von xi ist beliebig. Am meisten

Die natürliche Wahl für den Ursprung Oi liegt in diesem Fall am Schnittpunkt von zi und ziÿ1. Es reicht jedoch jeder geeignete Punkt entlang der zi -Achse aus. Beachten Sie, dass in diesem Fall der Parameter ai gleich 0 ist.

Dieses konstruktive Verfahren funktioniert für Frames 0,. .. ,n ÿ I in einem n-Link-Roboter. Um die Konstruktion abzuschließen, ist es notwendig, Rahmen n anzugeben. Das endgültige Koordinatensystem onxnynzn wird üblicherweise als Endeffektor oder Werkzeugrahmen bezeichnet (siehe Abbildung 3.5). Der Ursprung On ist am häufigsten

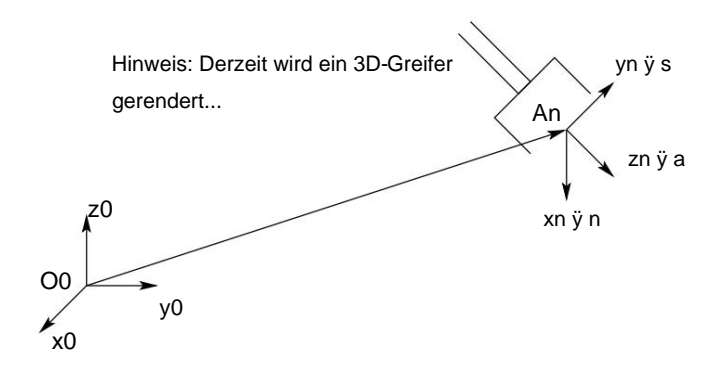


Abbildung 3.5: Werkzeugrahmenzuordnung.

symmetrisch zwischen den Fingern des Greifers platziert. Die Einheitsvektoren entlang der xn-, yn- und zn -Achse werden mit n, s bzw. a bezeichnet . Die Terminologie ergibt sich aus der Tatsache, dass die Richtung a die Annäherungsrichtung ist, in dem Sinne, dass der Greifer typischerweise entlang der a- Richtung an ein Objekt heranfährt. Ebenso ist die s- Richtung die Gleitrichtung, die Richtung, entlang der die Finger des Greifers zum Öffnen und Schließen gleiten, und n ist die Richtung normal zur durch a und s gebildeten Ebene.

Bei modernen Robotern ist die endgültige Gelenkbewegung eine Drehung des Endeffektors um ÿn und die letzten beiden Gelenkachsen, znÿ1 und zn, fallen zusammen. In diesem Fall ist die Transformation zwischen den letzten beiden Koordinatensystemen eine Translation entlang znÿ1 um eine Distanz dn, gefolgt von einer Drehung von ÿn im Bogenmaß um znÿ1 (oder davor). Dies ist eine wichtige Beobachtung, die die Berechnung der inversen Kinematik im nächsten Kapitel vereinfachen wird.

Beachten Sie abschließend die folgende wichtige Tatsache. In allen Fällen, unabhängig davon, ob es sich um ein Rotationsgelenk oder ein Prismengelenk handelt, sind die Größen ai und ÿi immer für alle i konstant und charakteristisch für den Manipulator. Wenn das Gelenk i prismatisch ist, dann ist Th Gelenkvariable. Ähnlich, auch ÿi eine Konstante, während di das i ist. Wenn das Gelenk i rote Gericht kadiarblest di konstant und ÿi das i

3.2.3 Zusammenfassung

Wir können das obige Verfahren basierend auf der DH-Konvention im folgenden Algorithmus zur Ableitung der Vorwärtskinematik für jeden Manipulator zusammenfassen.

- Schritt I: Lokalisieren und beschriften Sie die Gelenkachsen z0,...,znÿ1.
- Schritt 2: Grundrahmen aufbauen. Legen Sie den Ursprung irgendwo auf der z0-Achse fest.

 Die x0- und y0 -Achsen werden zweckmäßigerweise so gewählt, dass sie einen rechten Rahmen bilden.

 Für i = 1,...,n ÿ 1, führen Sie die Schritte 3 bis 5 aus.
- Schritt 3: Suchen Sie den Ursprung Oi dort, wo die gemeinsame Normale von zi und ziÿ1 zi schneidet . Wenn zi ziÿ1 schneidet, lokalisiere Oi an diesem Schnittpunkt. Wenn zi und ziÿ1 parallel sind, platzieren Sie Oi an einer beliebigen geeigneten Position entlang zi .
- Schritt 4: Ermitteln Sie xi entlang der gemeinsamen Normalen zwischen ziÿ1 und zi durch oder in Oi der Richtung normal zur Ebene ziÿ1 ÿ zi , wenn sich ziÿ1 und zi schneiden.
- Schritt 5: Legen Sie yi fest , um einen rechten Rahmen zu vervollständigen.
- Schritt 6: Richten Sie den Endeffektorrahmen ein . Unter der Annahme, dass das n-te Gelenk drehbar ist, setzen Sie zn = a entlang der Richtung znÿ1. Legen Sie den Ursprung On bequem entlang der Zn fest, vorzugsweise in der Mitte des Greifers oder an der Spitze eines beliebigen Werkzeugs, das der Manipulator möglicherweise trägt. Setze yn = s in Richtung des Greiferschlusses und setze xn = n als s x a. Wenn das Werkzeug kein einfacher Greifer ist, stellen Sie xn und yn bequem ein, um einen rechten Rahmen zu bilden.
- Schritt 7: Erstellen Sie eine Tabelle mit Verbindungsparameter,ndi, ÿi, ÿi.
 - ai = Abstand entlang xi von Oi bis zum Schnittpunkt von xi und ziÿ1
 - di = Abstand entlang ziÿ1 von Oiÿ1 bis zum Schnittpunkt der xi- und ziÿ1 -Achsen. di ist variabel, wenn das Gelenk i prismatisch ist. ÿi = der Winkel
 - zwischen ziÿ1 und zi , gemessen um xi (siehe Abbildung). 3.3).
 - ÿi = der Winkel zwischen xiÿ1 und xi, gemessen um ziÿ1 (siehe Abbildung 3.3). ÿi ist variabel, wenn das Gelenk i drehbar ist.
- Schritt 8: Bilden Sie die homogenen Transformationsmatrizen Ai , indem Sie die obigen Parameter in (3.10) einsetzen.

3.3. BEISPIELE 83

Schritt 9: Form T $_{_{N}}^{0}$ = A1 ··· An. Daraus ergibt sich dann die Position und Orientierung des Werkzeugrahmens, ausgedrückt in Basiskoordinaten.

3.3 Beispiele

In der DH-Konvention ist ÿ der einzige variable Winkel, daher vereinfachen wir die Notation, indem wir ci für cos ÿi usw. schreiben. Wir bezeichnen ÿ1 + ÿ2 auch mit ÿ12 und cos(ÿ1 + ÿ2) mit c12 usw. Bei den folgenden Beispielen ist es wichtig, sich daran zu erinnern, dass die DH-Konvention zwar systematisch ist, aber dennoch erhebliche Freiheit bei der Wahl einiger Manipulatorparameter zulässt. Dies gilt insbesondere bei parallelen Gelenkachsen oder bei prismatischen Gelenken.

Beispiel 3.1 Planarer Ellenbogenmanipulator

Betrachten Sie den zweigliedrigen planaren Arm aus Abbildung 3.6. Die Gelenkachsen z0 und

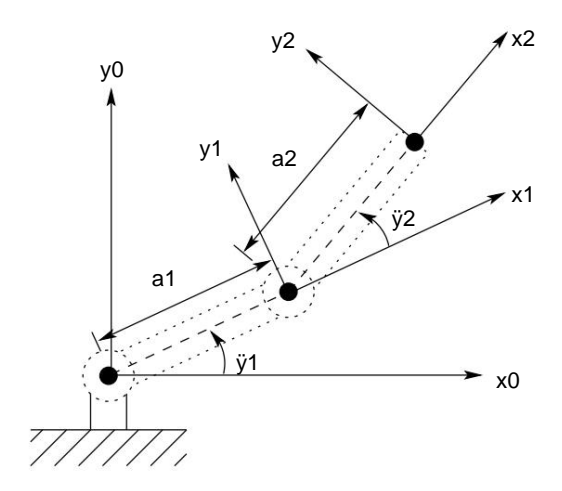


Abbildung 3.6: Planarer Manipulator mit zwei Gliedern. Die Z-Achsen zeigen alle aus der Seite heraus und sind in der Abbildung nicht dargestellt.

z1 sind normal zur Seite. Wir legen den Grundrahmen o0x0y0z0 wie gezeigt fest.

Der Ursprung wird am Schnittpunkt der z0 -Achse mit der Seite gewählt und die Richtung der x0 -Achse ist völlig willkürlich. Sobald der Basisrahmen festgelegt ist, wird der Rahmen o1x1y1z1 gemäß der DH-Konvention fixiert, wobei der Ursprung O1 am Schnittpunkt von z1 und der Seite liegt.

Der endgültige Frame o2x2y2z2 wird festgelegt, indem der Ursprung O2 am Ende von Link 2 ausgewählt wird, wie gezeigt. Die Verbindungsparameter sind in Tabelle 3.1 aufgeführt. Die A-Matrizen sind

Tabelle 3.1: Link-Parameter für den 2-Link-Planarmanipulator.

Link ai	yi di ÿi			
1	a1 0	0 ÿ ÿ		1
2	a2 0	0 ÿ ÿ		2
	ÿ Va	ariable	9	

bestimmt aus (3.10) als

Die T-Matrizen sind somit gegeben durch

$$T_1^0 = A1.$$
 (3.24)

$$T_{2}^{0} = A1A2 = \begin{cases} c12 \ \ddot{y}s12 \ 0 \ a1c1 + a2c12 \\ s12 \ c12 \\ 0 \ 0 \ 1 \\ 0 \ 0 \ 1 \end{cases}$$
 (3.25)

Beachten Sie, dass die ersten beiden Einträge der letzten Spalte v∮nsfind das x und y Komponenten des Ursprungs O2 im Grundrahmen; das ist,

$$x = a1c1 + a2c12$$
 (3.26)
 $y = a1s1 + a2s12$

sind die Koordinaten des Endeffektors im Basisrahmen. Der Rotationsteil von T_2^0 gibt die Ausrichtung des Rahmens o2x2y2z2 relativ zum Grundrahmen an. $\ddot{\nu}$

Beispiel 3.2 Zylindrischer Roboter mit drei Gliedern

Betrachten Sie nun den dreigliedrigen zylindrischen Roboter, der symbolisch durch dargestellt wird Abbildung 3.7. Wir legen O0 fest , wie an Gelenk 1 gezeigt. Beachten Sie, dass die Platzierung von

3.3. BEISPIELE **85**

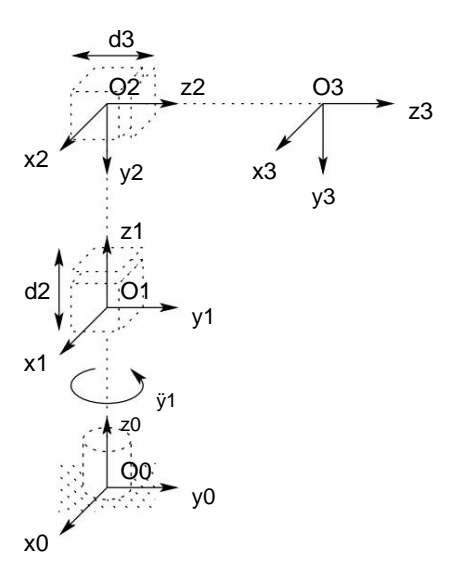


Abbildung 3.7: Dreigliedriger zylindrischer Manipulator.

Tabelle 3.2: Verbindungsparameter für den zylindrischen Manipulator mit 3 Verbindungen.

Link ai	ÿi 0 0		di ÿi c	11 ÿ ÿ
1				1
2	0 ÿ	90 d 0	ў 2	0
3		0 T	ў 3	0

y Variable

der Ursprung O0 entlang z0 sowie die Richtung der x0 -Achse sind beliebig.

Unsere Wahl von O0 ist die natürlichste, aber O0 könnte genauso gut an Gelenk 2 platziert werden. Die Achse x0 wird normal zur Seite gewählt. Da z0 und z1 zusammenfallen, wird als Nächstes der Ursprung O1 wie gezeigt am Gelenk 1 gewählt. Die x1- Achse verläuft normal zur Seite, wenn ÿ1 = 0, aber ihre Richtung ändert sich natürlich, da ÿ1 variabel ist.

Da sich z2 und z1 schneiden, wird der Ursprung O2 an diesem Schnittpunkt platziert. Die Richtung von x2 wird parallel zu x1 gewählt, sodass ÿ2 Null ist.

Schließlich wird der dritte Frame am Ende von Link 3 ausgewählt, wie gezeigt.

Die Link-Parameter werden nun in Tabelle 3.2 angezeigt. Das entsprechende A

und T-Matrizen sind

Beispiel 3.3 Kugelförmiges Handgelenk

ÿ

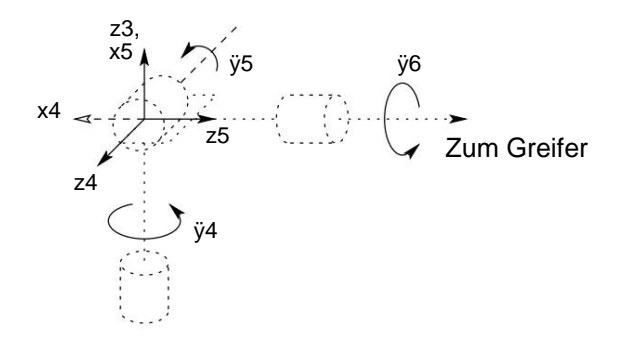


Abbildung 3.8: Die sphärische Handgelenkrahmenzuordnung.

Die sphärische Handgelenkskonfiguration ist in Abbildung 3.8 dargestellt, in der sich die Gelenkachsen z3, z4, z5 bei O schneiden. Die Denavit-Hartenberg-Parameter sind in Tabelle 3.3 dargestellt. Der Stanford-Manipulator ist ein Beispiel für einen Manipulator, der über ein solches Handgelenk verfügt. Tatsächlich gilt die folgende Analyse für praktisch alle sphärischen Handgelenke.

3.3. BEISPIELE 87

Tabelle 3.3: DH-Parameter für sphärisches Handgelenk.

Link ai	ÿi di ÿi	0 ÿ90 0	ÿ ÿ	
4				4
5	09	0 0 ÿ ÿ 0		5
6		0	d6 ÿ	ÿ 6
3	ÿ	/ariahle		

Wir zeigen nun, dass die letzten drei Gelenkvariablen ÿ4, ÿ5, ÿ6 die Euler-Winkel ÿ, ÿ bzw. ÿ in Bezug auf den Koordinatenrahmen o3x3y3z3 sind. Um dies zu sehen, müssen wir nur die Matrizen A4, A5 und A6 unter Verwendung von Tabelle 3.3 und dem Ausdruck (3.10) berechnen. Das gibt

Wenn man diese miteinander multipliziert, erhält man die Ergebnisse

Ein Vergleich des Rotationsteils R3 vo n_s^3 mit der Eulerschen Winkeltransformation T tion (2.51) zeigt, dass $\ddot{y}4,\ddot{y}5,\ddot{y}6$ tatsächlich als die Euler-Winkel \ddot{y} , \ddot{y} und \ddot{y} in Bezug auf das Koordinatensystem o3x3y3z3 identifiziert werden können.

Beispiel 3.4 Zylindrischer Manipulator mit sphärischem Handgelenk

Angenommen, wir befestigen nun ein kugelförmiges Handgelenk am zylindrischen Manipulator aus Beispiel 3.3.2, wie in Abbildung 3.9 gezeigt. Beachten Sie, dass die Drehachse von

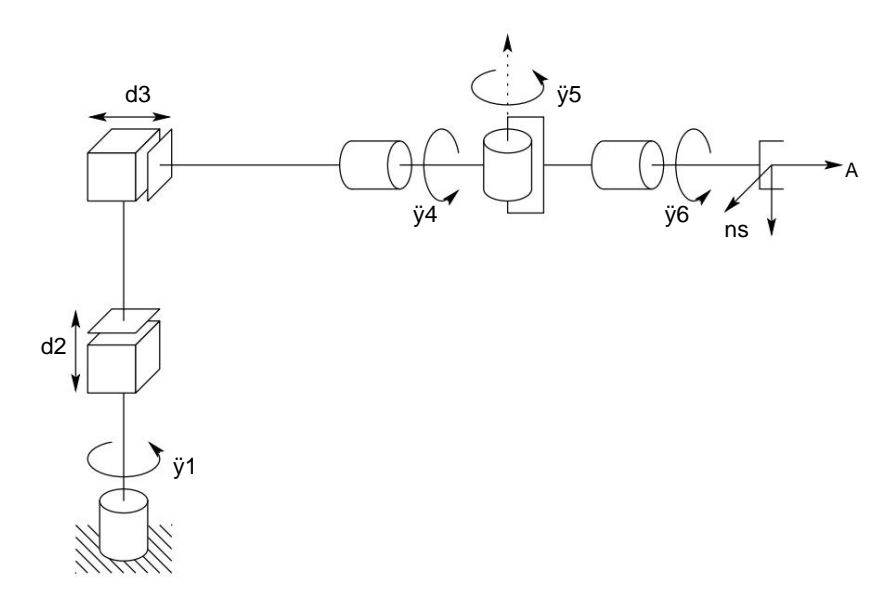


Abbildung 3.9: Zylindrischer Roboter mit sphärischem Handgelenk.

Gelenk 4 ist parallel zu z2 und fällt somit mit der Achse z3 aus Beispiel 3.3.2 zusammen. Daraus folgt, dass wir die beiden vorherigen Ausdrücke (3.28) und (3.32) sofort kombinieren können, um die Vorwärtskinematik abzuleiten als

$$T_6^0 = T_3^0 T_6^3$$
 (3.33)

mit T $_3^0$ gegeben durch (3.28) und $_6^3$ T gegeben durch (3.32). Daher wird die Vorwärtskinematik dieses Manipulators beschrieben durch

3.3. BEISPIELE 89

Wo

```
r11 = c1c4c5c6 ÿ c1s4s6 + s1s5c6
r21 = s1c4c5c6 ÿ s1s4s6 ÿ c1s5c6
r31 = ÿs4c5c6 ÿ c4s6
r12 = ÿc1c4c5s6 ÿ c1s4c6 ÿ s1s5c6
r22 = ÿs1c4c5s6 ÿ s1s4s6 + c1s5c6
r32 = s4c5c6 ÿ c4c6
r13 = c1c4s5 ÿ s1c5
r23 = s1c4s5 + c1c5
r33 = ÿs4s5
dx = c1c4s5d6 ÿ s1c5d6 ÿ s1d3 dy =
s1c4s5d6 + c1c5d6 + c1d3 dz =
ÿs4s5d6 + d1 + d2.
```

Beachten Sie, dass der größte Teil der Komplexität der Vorwärtskinematik dieses Manipulators aus der Ausrichtung des Endeffektors resultiert, während der Ausdruck für die Armposition aus (3.28) ziemlich einfach ist. Die Annahme eines sphärischen Handgelenks vereinfacht hier nicht nur die Ableitung der Vorwärtskinematik, sondern wird auch das Problem der inversen Kinematik im nächsten Kapitel erheblich vereinfachen.

Beispiel 3.5 Stanford-Manipulator Betrachten

Sie nun den in Abbildung 3.10 gezeigten Stanford-Manipulator. Dieser Manipulator ist ein Beispiel für einen sphärischen (RRP) Manipulator mit sphärischem Handgelenk. Dieser Manipulator weist einen Versatz im Schultergelenk auf, der sowohl die Probleme der Vorwärts- als auch der Rückwärtskinematik etwas erschwert.

Wir erstellen zunächst die gemeinsamen Koordinatensysteme mithilfe der DH-Konvention, wie gezeigt. Die Verbindungsparameter sind in Tabelle 3.4 aufgeführt.

Es ist einfach , die Matrizen Ai zu berechnen

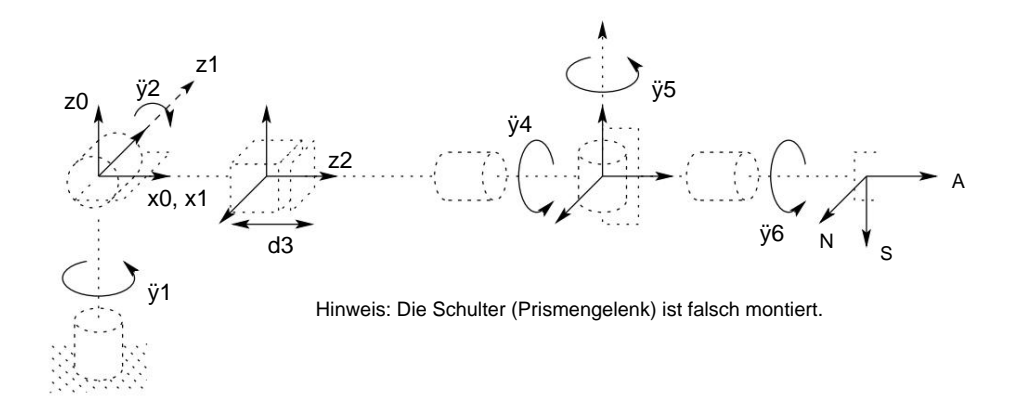


Abbildung 3.10: Zuordnung des DH-Koordinatenrahmens für den Stanford-Manipulator.

Tabelle 3.4: DH-Parameter für Stanford Manipulator.

Link di a	i ÿi ÿi 0	0 ÿ90 <u>j</u>	ÿ d2 0 +90	ÿÿ
1	0 0			
2	Ĭ			
3			0	
4	0 0	ÿ90 ÿ		
500	+90 j	i 6 d6	00ÿ	

Gelenkvariable

3.3. BEISPIELE **91**

0

A5 =
$$\begin{array}{c} \begin{array}{c} \begin{array}{c} \begin{array}{c} \begin{array}{c} \\ \\ \end{array} \end{array} & \begin{array}{c} \begin{array}{c} \\ \end{array} \end{array} & \begin{array}{c} \\ \end{array} & \end{array} & \begin{array}{c} \\ \end{array} & \end{array} & \begin{array}{c} \\ \end{array} & \end{array} & \begin{array}{c}$$

T o ist dann gegeben als

$$T_6^0 = A1 \cdots A6$$
 (3.41)
 $r11 \ r12 \ r13 \ dx$
 $= r21 \ r22 \ r23 \ dy$
 $r31 \ r32 \ r33 \ dz \ 0$ (3.42)

Wo

ÿ

Beispiel 3.6 SCARA-Manipulator

Betrachten Sie als weiteres Beispiel für das allgemeine Verfahren den SCARA-Manipulator in Abbildung 3.11. Dieser Manipulator, der eine Abstraktion des AdeptOne-Roboters aus Abbildung 1.11 ist, besteht aus einem RRP-Arm und einem Handgelenk mit einem Freiheitsgrad, dessen Bewegung eine Rolle um die vertikale Achse ist. Der erste

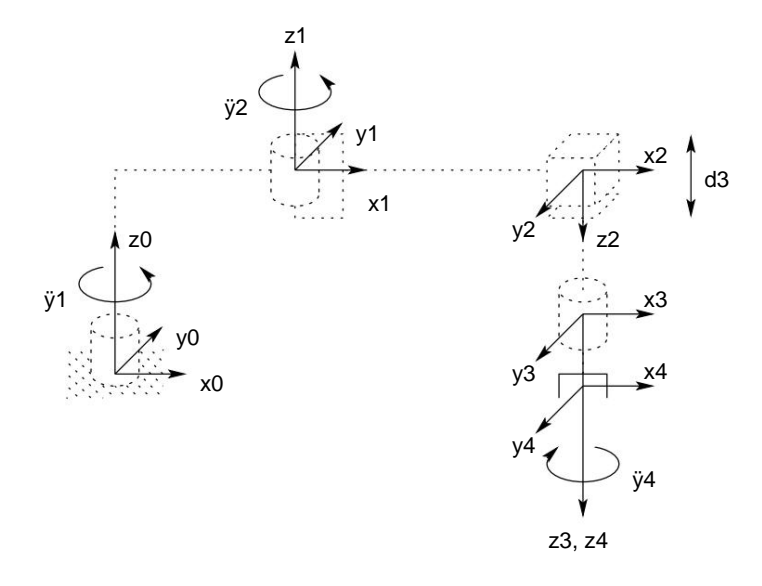


Abbildung 3.11: DH-Koordinatenrahmenzuordnung für den SCARA-Manipulator.

Tabelle 3.5: Gelenkparameter für SCARA.

Link ai ÿ	i di ÿi a	1 0 0 ÿ a2	180 0	ÿΟ
1	ÿΟ			
2				
3	0			
4	0	0 d4	ÿ	

Gelenkvariable

Der Schritt besteht darin, die Gelenkachsen wie gezeigt zu lokalisieren und zu beschriften. Da alle Gelenkachsen parallel sind, haben wir eine gewisse Freiheit bei der Platzierung der Ursprünge. Der Einfachheit halber werden die Ursprünge wie gezeigt platziert. Wir legen die x0-Achse wie gezeigt in der Ebene der Seite fest. Dies ist völlig willkürlich und betrifft nur die Nullkonfiguration des Manipulators, also die Position des Manipulators, wenn $\ddot{y}1 = 0$.

Die Verbindungsparameter sind in Tabelle 3.5 angegeben und die A-Matrizen lauten wie folgt

3.3. BEISPIELE 93

folgt.

Die vorwärtskinematischen Gleichungen sind daher gegeben durch

ÿ

3.4 Probleme

- Überprüfen Sie die Aussage nach Gleichung (3.18), dass die Rotationsmatrix R die Form (3.16) hat, vorausgesetzt, die Annahmen DH1 und DH2 sind erfüllt.
- 2. Betrachten Sie den in Abbildung 3.12 gezeigten planaren Manipulator mit drei Gliedern. Ableiten

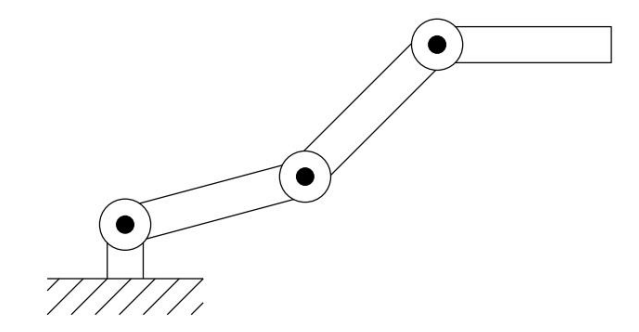


Abbildung 3.12: Dreigliedriger planarer Arm von Problem 3-2.

die vorwärtskinematischen Gleichungen unter Verwendung der DH-Konvention.

3. Betrachten Sie den zweigliedrigen kartesischen Manipulator aus Abbildung 3.13. Ableiten

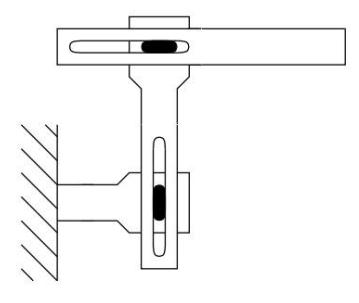


Abbildung 3.13: Zweigliedriger kartesischer Roboter von Problem 3-3.

die vorwärtskinematischen Gleichungen unter Verwendung der DH-Konvention.

- 4. Betrachten Sie den zweigliedrigen Manipulator aus Abbildung 3.14, dessen Gelenk 1 rotierend und Gelenk 2 prismatisch ist. Leiten Sie die Vorwärtskinematikgleichungen mithilfe der DH-Konvention her.
- 5. Betrachten Sie den dreigliedrigen planaren Manipulator aus Abbildung 3.15. Leiten Sie ab Vorwärtskinematische Gleichungen unter Verwendung der DH-Konvention.

3.4. PROBLEME **95**

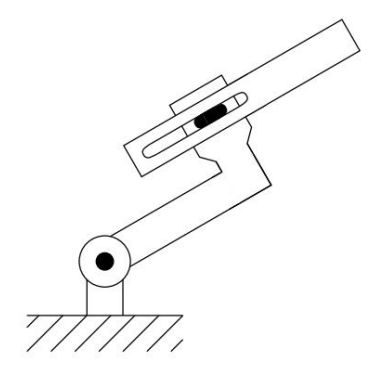


Abbildung 3.14: Zweigliedriger planarer Arm von Problem 3-4.

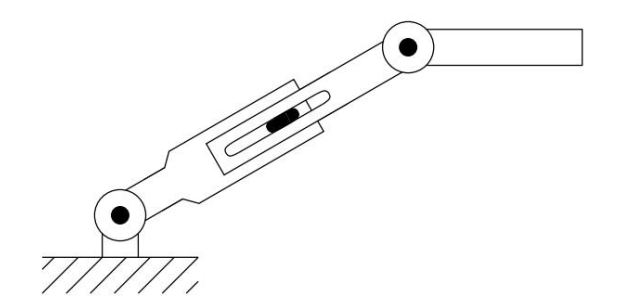


Abbildung 3.15: Dreigelenkiger planarer Arm mit prismatischem Gelenk aus Problem 3-5.

- 6. Betrachten Sie den dreigelenkigen Gelenkroboter aus Abbildung 3.16. Leiten Sie die ab Vorwärtskinematische Gleichungen unter Verwendung der DH-Konvention.
- 7. Betrachten Sie den dreigliedrigen kartesischen Manipulator aus Abbildung 3.17. Leiten Sie die Vorwärtskinematikgleichungen mithilfe der DH-Konvention her.
- 8. Befestigen Sie ein kugelförmiges Handgelenk am dreigliedrigen Gelenkmanipulator aus Problem 3-6, wie in Abbildung 3.18 gezeigt. Leiten Sie die Vorwärtskinematikgleichungen für diesen Manipulator her.
- Befestigen Sie ein kugelförmiges Handgelenk am dreigliedrigen kartesischen Manipulator aus Problem 3-7, wie in Abbildung 3.19 gezeigt. Leiten Sie die Vorwärtskinematikgleichungen für diesen Manipulator her.
- 10. Betrachten Sie den in Abbildung 3.20 gezeigten Manipulator PUMA 260. Leiten Sie den vollständigen Satz vorwärtskinematischer Gleichungen ab, indem Sie geeignete DH-Koordinatenrahmen festlegen, eine Tabelle mit Verbindungsparametern erstellen, die A-Matrizen bilden usw.

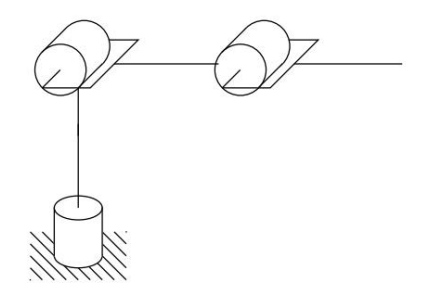


Abbildung 3.16: Dreigelenkiger Knickarmroboter.

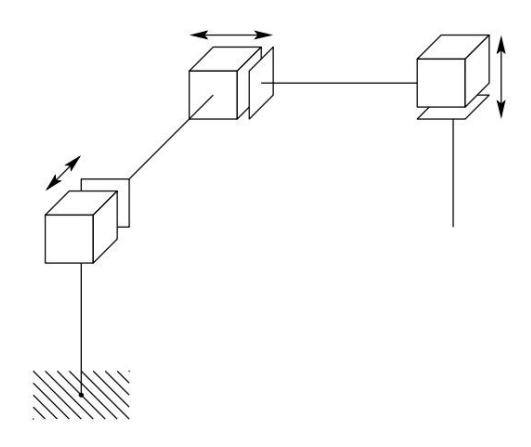


Abbildung 3.17: Dreigliedriger kartesischer Roboter.

- 11. Wiederholen Sie Aufgabe 3-9 für den in Abbildung 3.21 gezeigten Rhino XR-3-Roboter mit fünf Freiheitsgraden. (Hinweis: Sie sollten das Rhino-Handgelenk durch das sphärische Handgelenk ersetzen.)
- 12. Angenommen, ein Rhino XR-3 ist an einen Tisch geschraubt, auf dem ein koordinierter Rahmen osxsyszs aufgebaut ist, wie in Abbildung 3.22 dargestellt. (Der Rahmen osxsyxzs wird oft als Stationsrahmen bezeichnet.) Bestimmen Sie anhand des Basisrahmens, den Sie in Aufgabe 3-11 erstellt haben, die homogene Transformation T s, die den Basisrahmen mit dem Stationsrahmen in Beziehung setzt. Finden Sie die homogene Transformation T ist der 5 den Bezug zum Endeffektorrahmen Stationsrahmen. Wie ist die Position und Ausrichtung des Endeffektors im Stationsrahmen, wenn ÿ1 = ÿ2 = · · · = ÿ5 = 0?
- 13. Betrachten Sie den in Abbildung 3.23 gezeigten GMF S-400-Roboter. Zeichnen Sie die symbolische Darstellung für diesen Manipulator. Erstellen Sie DH-Koordinatenrahmen und schreiben Sie die Vorwärtskinematikgleichungen.

3.4. PROBLEME **97**

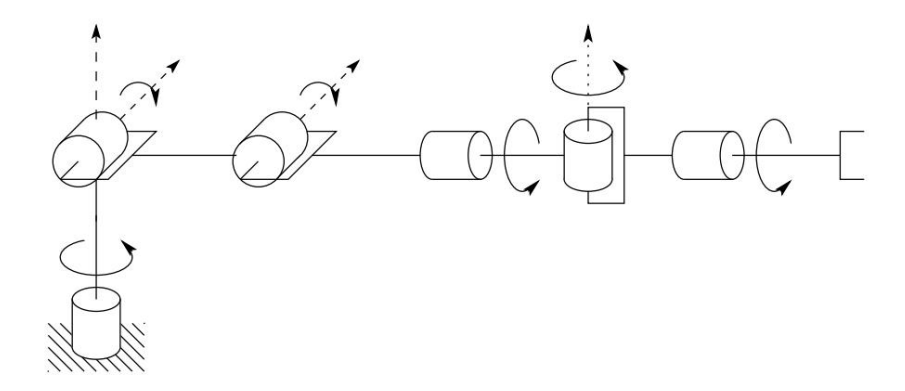


Abbildung 3.18: Ellenbogenmanipulator mit kugelförmigem Handgelenk.

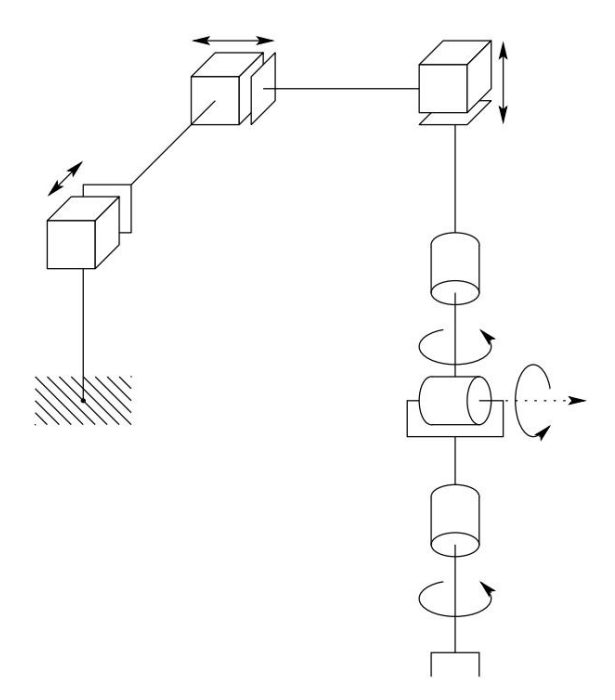


Abbildung 3.19: Kartesischer Manipulator mit kugelförmigem Handgelenk.

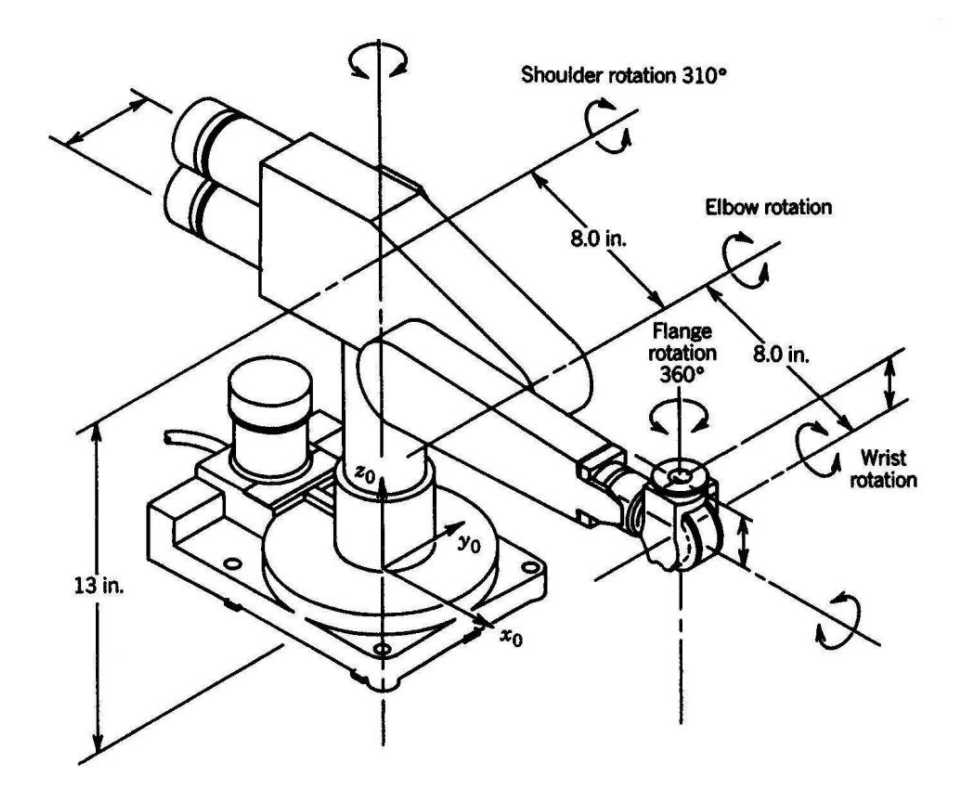


Abbildung 3.20: PUMA 260-Manipulator.

3.4. PROBLEME **99**

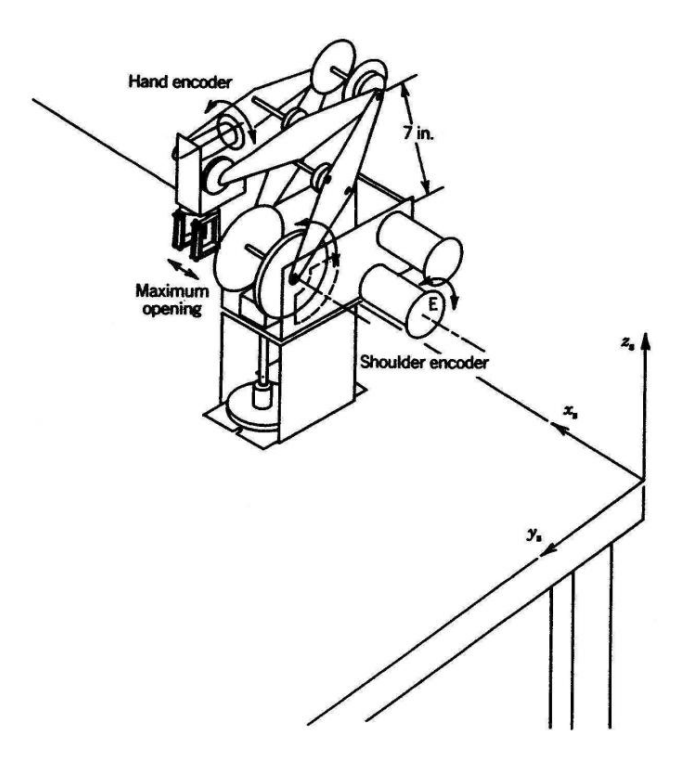


Abbildung 3.21: Rhino XR-3 Roboter.

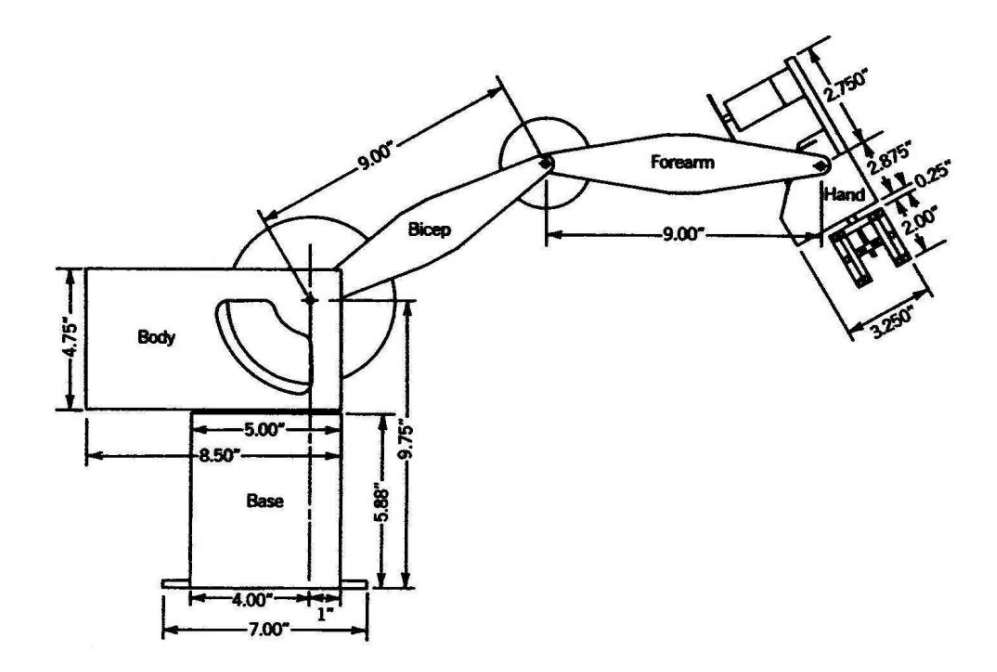


Abbildung 3.22: Rhino-Roboter an einem Tisch befestigt. Aus: Eine Robotertechnik Lehrbuch von Mohsen Shahinpoor. Copyright 1987, Harper & Row Publishers, Inc

3.4. PROBLEME **101**

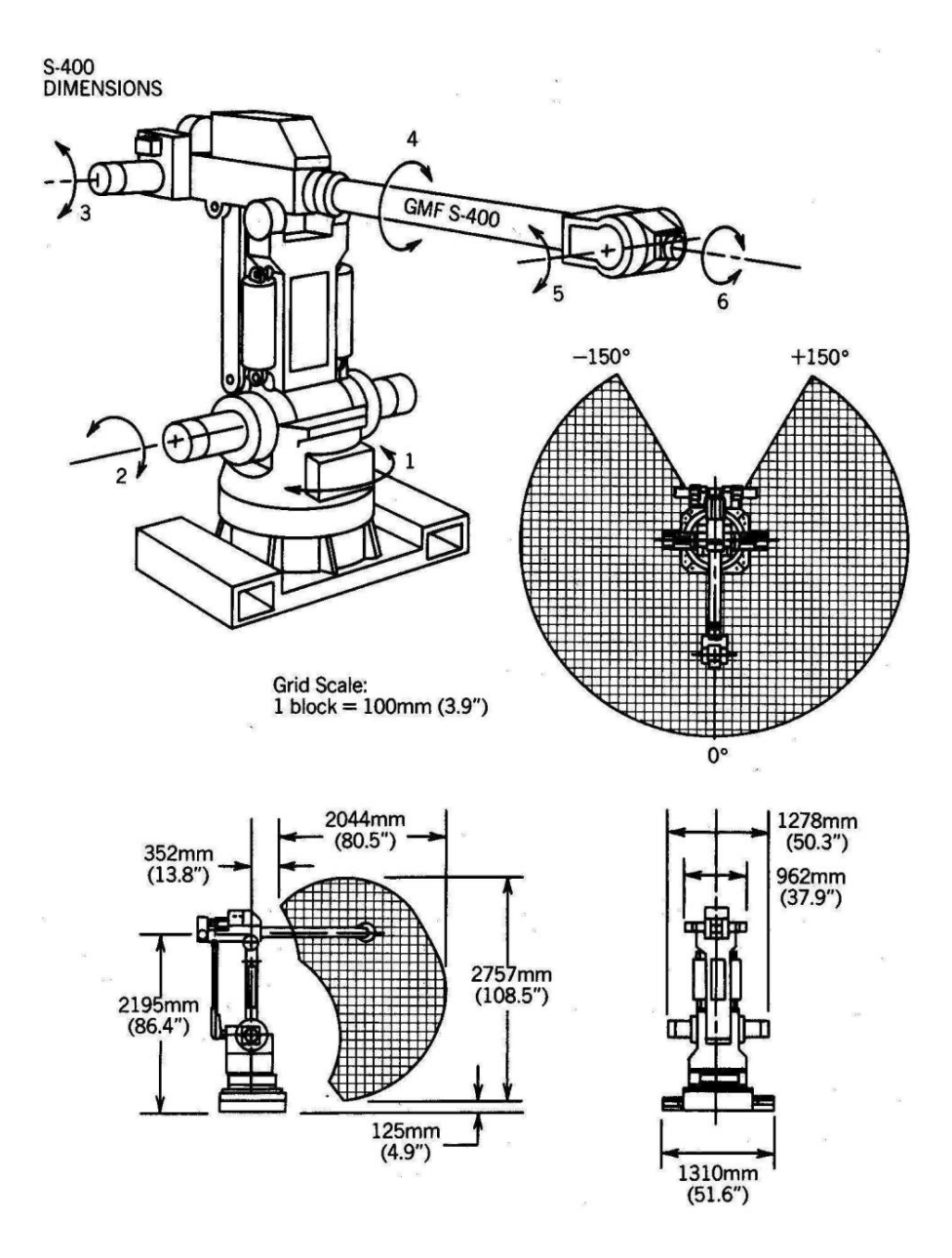


Abbildung 3.23: GMF S-400 Roboter. (Mit freundlicher Genehmigung von GMF Robotics.)

Machine Translated by Google

102KAPITEL 3. VORWÄRTSKINEMATIK: DIE DENAVIT-HARTENBERG-KONVENTION